

Erwartungsgemäß sind beim manganreicherem Katalysator die Gasumsätze etwas geringer.

6.2.2 Mn/Fe-Katalysatoren mit den Zeolithtypen D und G

Der Katalysator Nr. 112 enthielt Mn/Fe im Verhältnis 75/25 und den Zeolithtyp D. Er wurde in den Versuch Nr. 69 eingesetzt. Beim Katalysator Nr. 144, der im Versuch Nr. 83 verwendet wurde, lag Mn/Fe im Verhältnis 85/15 vor und ein Zeolith des Typs G. Beide Katalysatoren wurden von uns hergestellt. Mit diesen Katalysatoren erhaltene Ergebnisse sind in der Tab. 6.11 und der Abb. 6.11 angeführt. Bei den Versuchen Nr. 69 und 83 betragen der Druck 11 bar, das CO/H₂-Verhältnis im Frischgas rund 1, die Raumgeschwindigkeit 210 h⁻¹ und der untersuchte Temperaturbereich 300 bis 330 °C.

Beim Versuch Nr. 69 wurden sehr kurzkettige Verbindungen gebildet mit hoher über 50 % liegender C_{2/4}-Selektivität, die mit steigender Temperatur leicht anwächst. Im Gegensatz dazu fällt die C_{2/4}-Olefinselektivität mit steigender Temperatur. Beim Versuch Nr. 83 ist der C₅₊-Anteil höher. Er fällt stärker mit der Temperatur ab. Der Methananteil nimmt stark mit steigender Temperatur zu und übertrifft bei 330 °C trotz höherem C₅₊-Anteil den des Versuches Nr. 69.

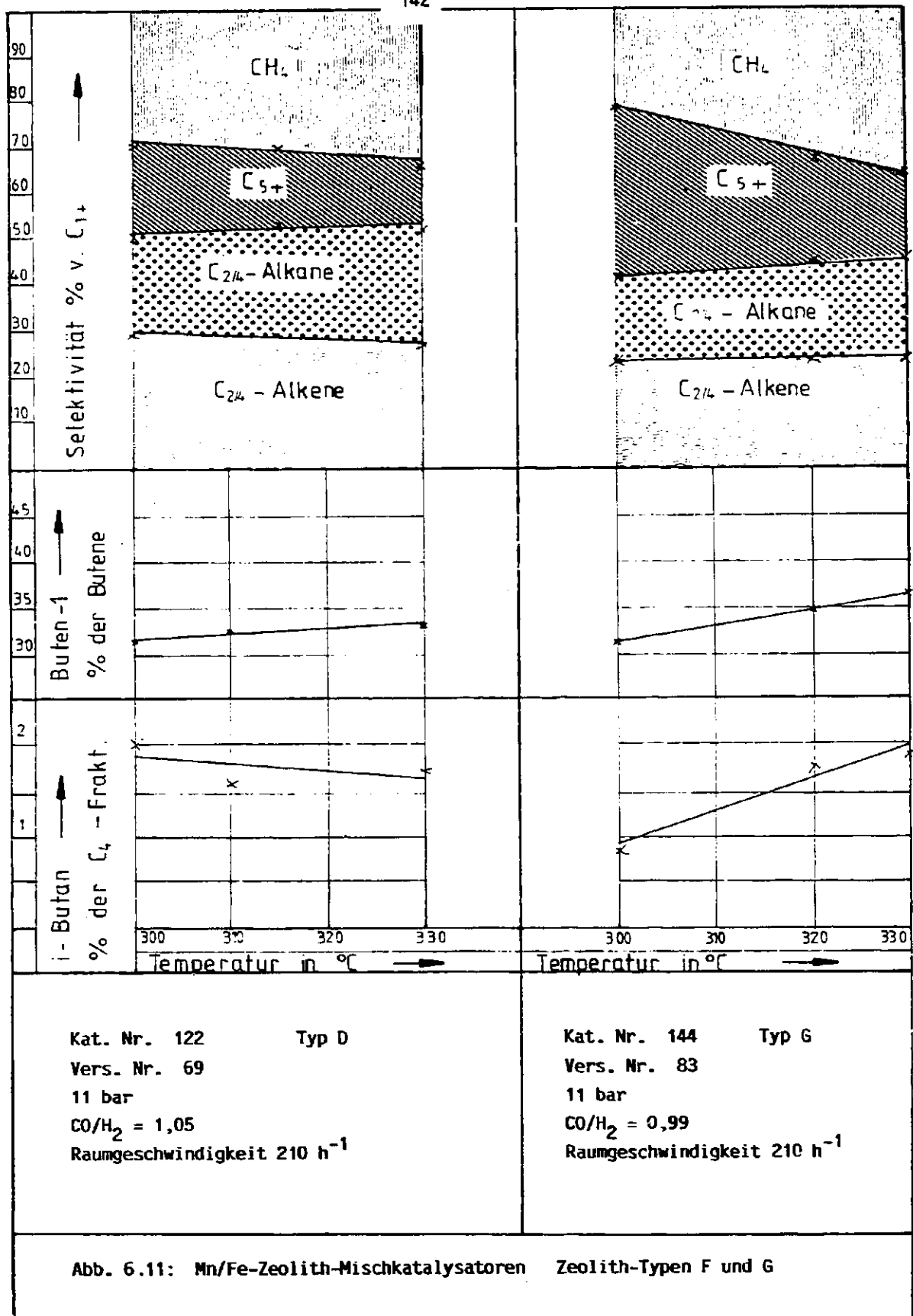
Die C_{2/4}-Selektivität und die C_{2/4}-Olefinselektivität sind niedriger als beim Versuch Nr. 69. Die Olefingehalte der C_{2/4}-Fraktionen sind bei beiden Versuchen etwa gleich.

Bei beiden Versuchen sind die Doppelbindungen stark isomertisiert. Nur noch etwa ein Drittel der Doppelbindungen ist endständig. Die Isobutananteile sind mit 1 bis 2 % sehr gering.

6.2.3 Mn/Fe-Katalysatoren mit den Zeolithtypen H und I

Die von uns hergestellten Katalysatoren Nr. 145 und 146 besaßen das gleiche Mn/Fe-Verhältnis von 85/15. Als Zeolith-

Tab. 6.11: Mn/Fe-Zeolith-Mischkatalysatoren

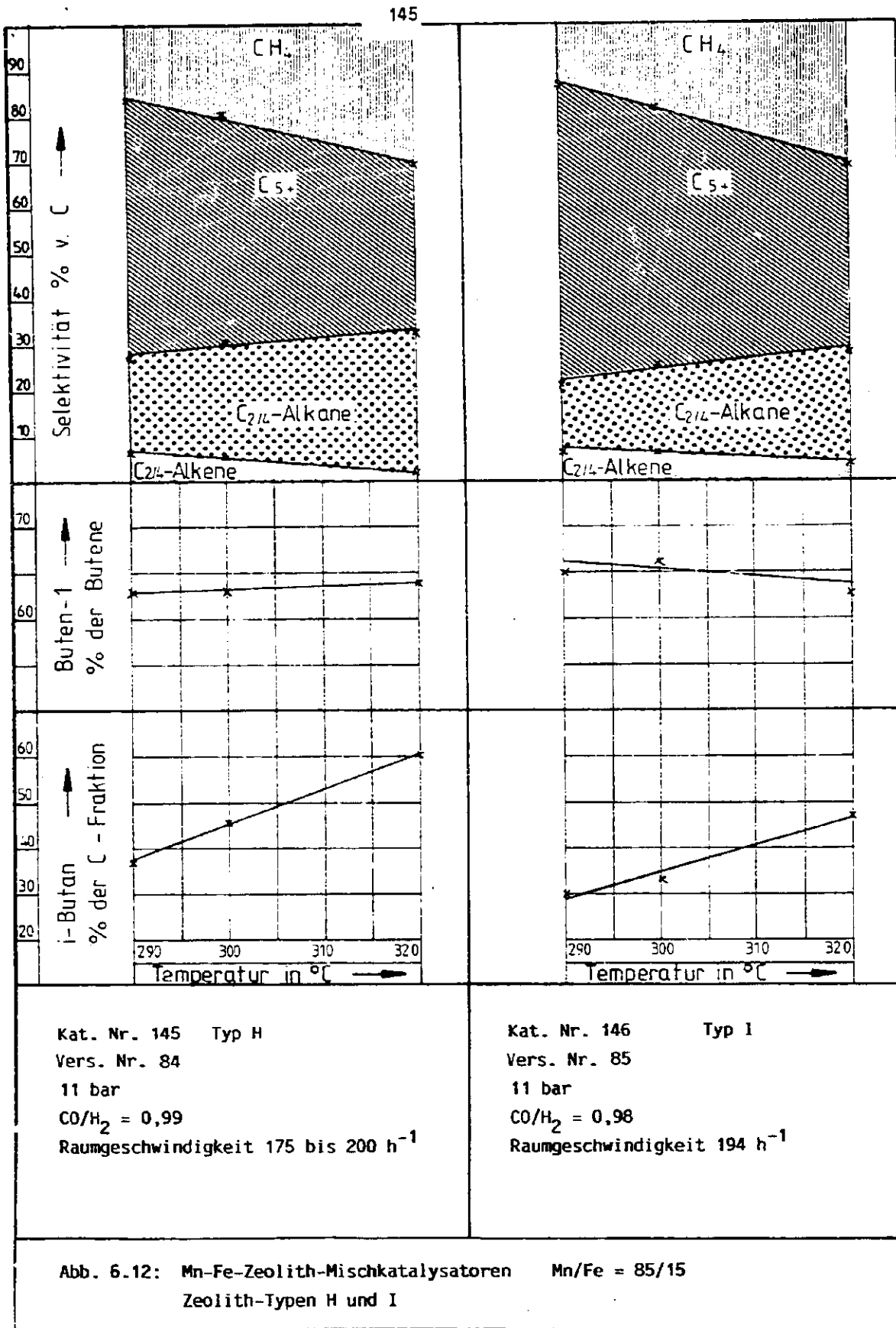


komponente hatte der in Vers. Nr. 84 eingesetzte Katalysator Nr. 145 den Typ H und der in Versuch Nr. 85 eingesetzte Katalysator Nr. 146 den Typ I. Die Ergebnisse beider Versuche sind in der Tab. 6.12 und der Abb. 6.12 dargestellt. Gemeinsame Bedingungen waren ein Druck von 11 bar, ein CO/H₂-Verhältnis von 1 und Raumgeschwindigkeiten von knapp 200 h⁻¹. Untersucht wurde der Temperaturbereich von 290 bis 320 °C.

Beim Versuch Nr. 85 war der Gasumsatz besonders bei den tieferen Temperaturen höher, der Katalysator Nr. 146 somit der aktiver. Beim Versuch Nr. 85 wurden auch längerkettige Produkte erzeugt. Als Folge der geringen Olefingehalte in den C₂- bis C₄-Fraktionen war die C_{2/4}-Olefinselektivität in beiden Fällen gering. Mit dem Katalysator Nr. 146 wurden etwas höhere Olefingehalte erreicht.

Etwa zwei Drittel der Butendoppelbindungen war endständig. Hoch war der Isobutangehalt der C₄-Fraktion, der mit der Temperatur anstieg. Bei 320 °C betrug er beim Versuch Nr. 84 61 % und beim Versuch Nr. 85 47 %.

Täv. 6.12: Mn/Fe-Zeolith-Mischkatalysatoren



6.2.4 Mn/Fe-Katalysator mit dem Zeolithtyp 0

Der Katalysator Nr. 186 wurde uns von UCC zur Verfügung gestellt und in Versuch Nr. 118 erprobt. Der Zeolithkatalysator enthielt neben 8 % Mangan 2 % Eisen. Beim Versuch Nr. 118 erhaltene Ergebnisse zeigen die Tab. 6.13 und die Abb. 6.13. Konstante Bedingungen waren ein Druck von 11 bar und eine Raumgeschwindigkeit von 45 h^{-1} . Zunächst wurden bei einem CO/H_2 -Verhältnis von 0,66 Umsatz und Palette im Temperaturbereich von 250 bis 300 °C untersucht, sodann bei einer Temperatur von 300 °C der Einfluß unterschiedlicher CO/H_2 -Verhältnisse.

Die Produktpalette ist sehr kurzkettig. Beim Ansteigen der Temperatur durchläuft die $\text{C}_{2/4}$ -Selektivität bei etwa 280 °C, ein Maximum, während die $\text{C}_{2/4}$ -Olefinselektivität anwächst. Der geringe Olefingehalt der C_2 - bis C_4 -Fraktion erhöht sich mit steigender Temperatur. Mit zunehmendem CO-Gehalt im Frischgas erhöhen sich die Olefingehalte und damit auch die $\text{C}_{2/4}$ -Olefinselektivität.

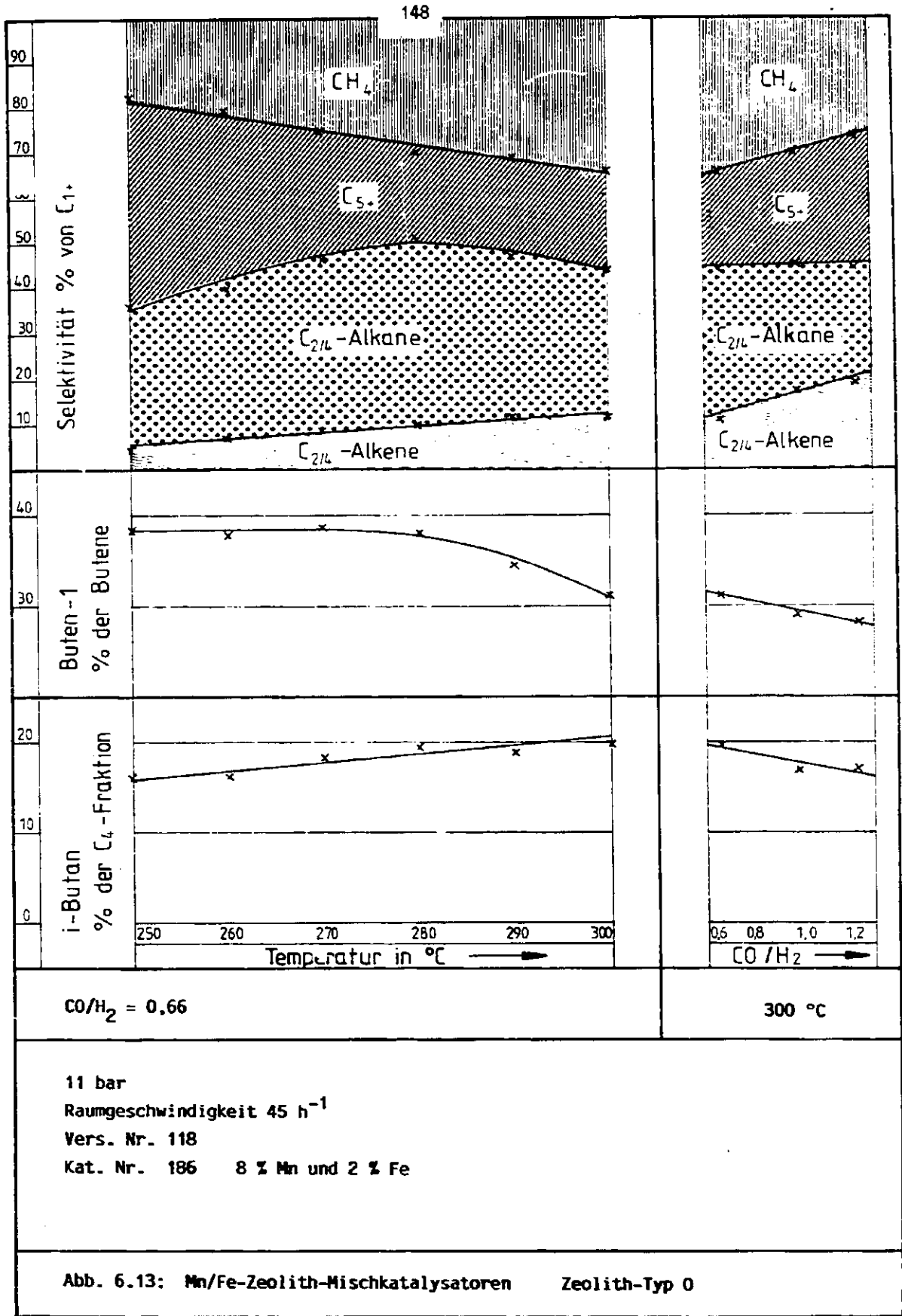
Der Buten-1-Anteil sinkt mit der Temperatur von 39 auf 32 % und ist vom CO/H_2 -Verhältnis nur wenig abhängig. Er ist bei wasserstoffreichen Gasen etwas höher.

Der Isobutangehalt ist gegenüber Versuchen mit zeolithfreien Katalysatoren wesentlich erhöht. Er liegt zwischen 16 und 20 %, erhöht sich mit steigender Temperatur und mit fallendem CO/H_2 -Verhältnis. Mit dem CO-Gehalt im Frischgas nimmt der Gasumsatz zu. Der Katalysator war nicht sehr aktiv. Trotz geringer Raumgeschwindigkeit wurden max. nur 47 % vom Frischgas umgesetzt.

Beim Versuch Nr. 118 wurden die Bedingungen vom 8. bis zum 24. Lauftag konstant gehalten. Während dieser Zeit betrugen der Druck 11 bar, die Temperatur 300 °C, das CO/H_2 -Verhältnis 1,25 und die Raumgeschwindigkeit 45 h^{-1} . Die Ergebnisse zeigen die Tab. 6.14 und die Abb. 6.14.

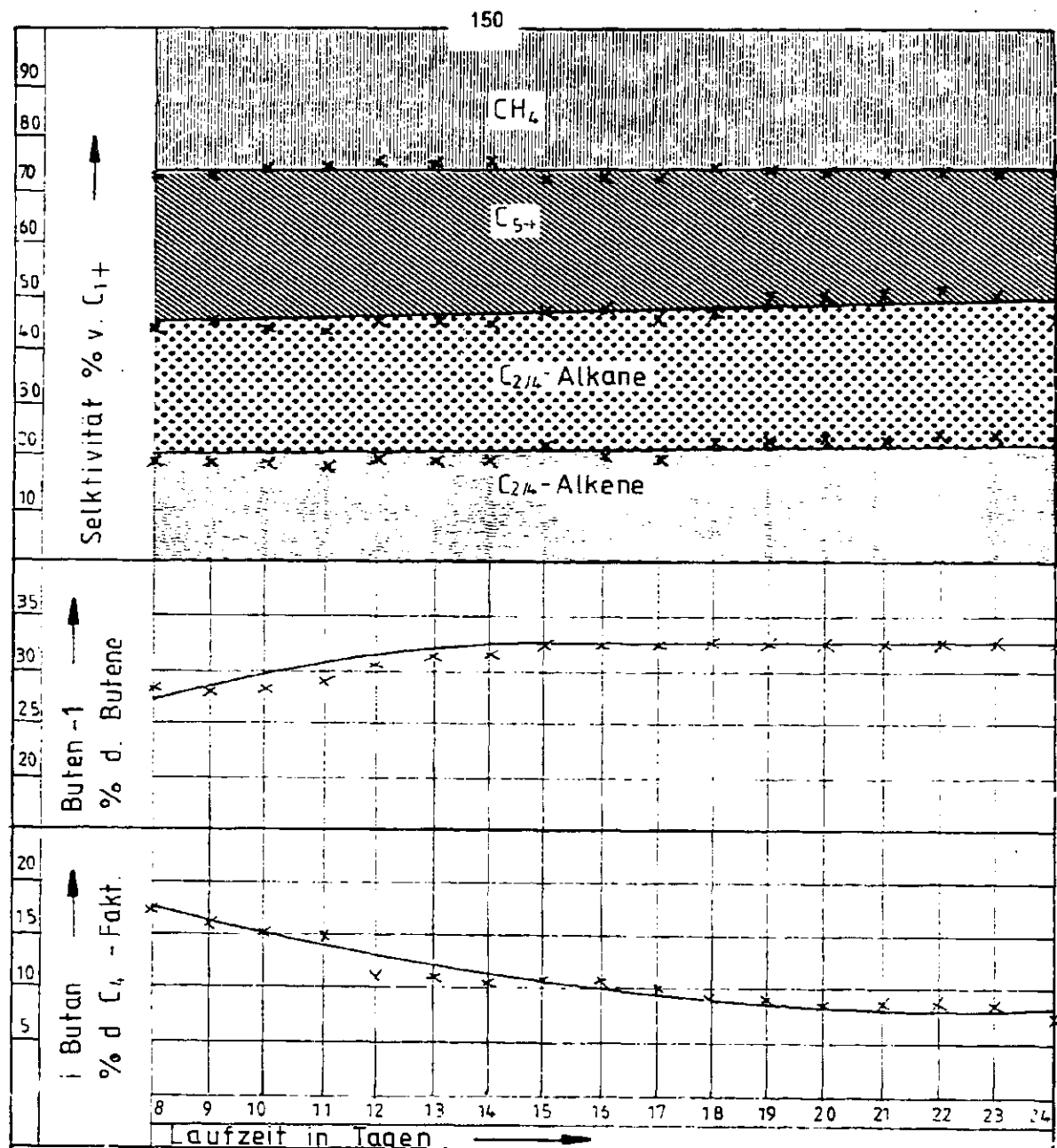
Tab. 6.13: Mn/Fe-Zeolith-Mischkatalysatoren
Kat. Nr. 186, Zeolith-Typ 0 mit 8 % Mn und 2 % Fe

		REAKTIONSBEDINGUNGEN						GASUMSATZ						OLEFIN - GEHALTE						C4 - FRANTION + C2/4 - OLEFINE					
		KAT.	VERS.	DRUCK	TEMP.	FG	CO/H2	CO/H2	R-GAS	VOM EINSATZ	%	DER FRAKTIONEN	C2	C3	C4	C2/4	C4	GEHALT AN	ALPHA-	ISO-	ANTEIL ABEIL	C2/H4	C3/H6	C4/H6	
		NR.	NR.	BAR	GDP/C	1/H	H-GAS	R-GAS	UNS.	%	CO/H2	C2/H2	C3/H2	C4/H2	C2/H2	C4/H2	%	%	%	%	%	%	%	%	
•	186	110,J,1	11	250	47	0,66	•	0,70	0,42	11,0	16,9	14,6	•	2,2	12,8	26,1	13,2	38,5	16,3	•	5,2	35,7	59,2	•	
•	186	110,J,2	11	260	45	0,66	•	0,70	0,45	14,4	20,7	10,2	•	3,5	18,6	29,0	17,5	37,7	16,3	•	6,0	39,0	55,0	•	
•	186	110,J,3	11	270	45	0,66	•	0,71	0,41	15,1	23,6	20,3	•	3,5	19,9	28,7	17,8	38,6	18,6	•	6,1	40,9	53,0	•	
•	186	110,J,4	11	280	46	0,66	•	0,71	0,40	16,3	25,5	21,9	•	4,0	23,5	31,4	19,7	38,0	19,6	•	6,5	43,2	50,3	•	
•	186	110,J,5	11	290	45	0,66	•	0,76	0,64	28,2	29,3	28,7	•	4,6	29,7	36,6	23,1	34,6	18,8	•	6,8	46,7	46,5	•	
•	186	110,J,6	11	300	45	0,66	•	0,74	0,60	39,2	34,4	36,3	•	4,9	34,2	38,1	24,3	32,3	19,7	•	7,6	50,9	41,5	•	
•	186	110,J,7	11	300	46	0,98	•	0,94	0,79	44,6	43,3	43,9	•	11,4	53,8	50,2	38,4	29,1	16,9	•	10,0	53,3	36,6	1	
•	186	110,J,1	11	300	48	1,23	•	1,31	1,09	44,9	49,5	47,0	•	14,8	58,7	51,5	42,6	42,6	28,3	17,2	•	11,1	53,1	35,8	•
		REAKTIONSBEDINGUNGEN						SELEKTIVITÄT						ZUSAMMENSETTUNG DES FT-PRODUKTES						C2/4- OLEF.					
		KAT.	VERS.	DRUCK	TEMP.	FG	CO/H2	CO/H2	OLEF.	C1	C2	C3	C4	C5+	CH4	C2/H4	C3/H6	C4/H6	C5+	H	H A S	S E N P	R O Z E M T	O L E F.	G / N M 2
		NR.	NR.	BAR	GDP/C	1/H	F-GAS	R-GAS	OLIF.	C1	C2	C3	C4	C5+	CH4	C2/H4	C3/H6	C4/H6	C5+						
•	186	110,J,1	11	250	47	0,66	•	4,7	17,6	11,0	13,2	11,6	46,7	•	19,1	0,2	10,9	1,6	11,5	2,7	8,7	45,3	•	1,3	•
•	186	110,J,2	11	260	45	0,66	•	7,3	20,6	12,1	14,7	13,3	39,5	•	22,4	0,4	11,3	2,6	11,3	3,6	9,2	36,2	•	2,4	•
•	186	110,J,3	11	270	45	0,66	•	8,4	25,3	16,6	17,2	15,5	37,7	•	27,3	0,5	14,0	3,2	13,6	4,7	10,8	26,6	•	3,1	•
•	186	110,J,4	11	280	46	0,66	•	10,0	29,8	16,4	18,4	16,0	41,5	•	31,9	0,6	15,8	4,0	13,0	4,7	10,6	18,6	•	3,9	•
•	186	110,J,5	11	290	45	0,66	•	10,9	31,2	16,0	17,0	12,0	21,9	•	33,4	0,7	15,4	4,7	11,7	4,7	8,5	20,8	•	5,6	•
•	186	110,J,6	11	300	45	0,66	•	10,7	34,2	16,4	16,0	11,6	21,8	•	36,4	0,8	15,6	5,1	10,3	4,1	7,0	20,7	•	6,9	•
•	186	110,J,7	11	300	46	0,93	•	17,5	30,3	15,4	17,3	15,7	26,2	•	32,6	1,6	13,9	8,8	1,9	6,0	6,2	23,1	•	14,0	•
•	186	110,J,1	11	300	48	1,23	•	18,9	26,3	16,1	17,1	13,2	29,3	•	28,5	2,0	12,2	9,5	7,0	6,4	6,3	28,2	•	16,6	•



Tab. 6.14: Mn/Fe-Zeolith-Mischkatalysatoren, Standfestigkeit
Kat. Nr. 186, Typ 0 mit 8 % Mn und 2 % Fe

• KAT.	• VERS.	• DRUCK TEMP.	• FG	• CO/H₂	• O/H₂	• C₂H₂	• C₂H₄	• C₂H₆	• C₃H₈	• C₄H₁₀	• C₄H₆	• C₅H₁₂	• C₆H₆	• C₇H₈	• C₈H₁₀	• C₉H₁₂	• C₁₀H₁₄	• C₁₁H₁₆	• C₁₂H₁₈	• C₁₃H₂₀	• C₁₄H₂₂	• C₁₅H₂₄	• C₁₆H₂₆	• C₁₇H₂₈	• C₁₈H₃₀	• C₁₉H₃₂	• C₂₀H₃₄	• C₂₁H₃₆	• C₂₂H₃₈	• C₂₃H₄₀	• C₂₄H₄₂	• C₂₅H₄₄	• C₂₆H₄₆	• C₂₇H₄₈	• C₂₈H₅₀	• C₂₉H₅₂	• C₃₀H₅₄	• C₃₁H₅₆	• C₃₂H₅₈	• C₃₃H₆₀	• C₃₄H₆₂	• C₃₅H₆₄	• C₃₆H₆₆	• C₃₇H₆₈	• C₃₈H₇₀	• C₃₉H₇₂	• C₄₀H₇₄	• C₄₁H₇₆	• C₄₂H₇₈	• C₄₃H₈₀	• C₄₄H₈₂	• C₄₅H₈₄	• C₄₆H₈₆	• C₄₇H₈₈	• C₄₈H₉₀	• C₄₉H₉₂	• C₅₀H₉₄	• C₅₁H₉₆	• C₅₂H₉₈	• C₅₃H₁₀₀	• C₅₄H₁₀₂	• C₅₅H₁₀₄	• C₅₆H₁₀₆	• C₅₇H₁₀₈	• C₅₈H₁₁₀	• C₅₉H₁₁₂	• C₆₀H₁₁₄	• C₆₁H₁₁₆	• C₆₂H₁₁₈	• C₆₃H₁₂₀	• C₆₄H₁₂₂	• C₆₅H₁₂₄	• C₆₆H₁₂₆	• C₆₇H₁₂₈	• C₆₈H₁₃₀	• C₆₉H₁₃₂	• C₇₀H₁₃₄	• C₇₁H₁₃₆	• C₇₂H₁₃₈	• C₇₃H₁₄₀	• C₇₄H₁₄₂	• C₇₅H₁₄₄	• C₇₆H₁₄₆	• C₇₇H₁₄₈	• C₇₈H₁₅₀	• C₇₉H₁₅₂	• C₈₀H₁₅₄	• C₈₁H₁₅₆	• C₈₂H₁₅₈	• C₈₃H₁₆₀	• C₈₄H₁₆₂	• C₈₅H₁₆₄	• C₈₆H₁₆₆	• C₈₇H₁₆₈	• C₈₈H₁₇₀	• C₈₉H₁₇₂	• C₉₀H₁₇₄	• C₉₁H₁₇₆	• C₉₂H₁₇₈	• C₉₃H₁₈₀	• C₉₄H₁₈₂	• C₉₅H₁₈₄	• C₉₆H₁₈₆	• C₉₇H₁₈₈	• C₉₈H₁₉₀	• C₉₉H₁₉₂	• C₁₀₀H₁₉₄	• C₁₀₁H₁₉₆	• C₁₀₂H₁₉₈	• C₁₀₃H₂₀₀	• C₁₀₄H₂₀₂	• C₁₀₅H₂₀₄	• C₁₀₆H₂₀₆	• C₁₀₇H₂₀₈	• C₁₀₈H₂₁₀	• C₁₀₉H₂₁₂	• C₁₁₀H₂₁₄	• C₁₁₁H₂₁₆	• C₁₁₂H₂₁₈	• C₁₁₃H₂₂₀	• C₁₁₄H₂₂₂	• C₁₁₅H₂₂₄	• C₁₁₆H₂₂₆	• C₁₁₇H₂₂₈	• C₁₁₈H₂₃₀	• C₁₁₉H₂₃₂	• C₁₂₀H₂₃₄	• C₁₂₁H₂₃₆	• C₁₂₂H₂₃₈	• C₁₂₃H₂₄₀	• C₁₂₄H₂₄₂	• C₁₂₅H₂₄₄	• C₁₂₆H₂₄₆	• C₁₂₇H₂₄₈	• C₁₂₈H₂₅₀	• C₁₂₉H₂₅₂	• C₁₃₀H₂₅₄	• C₁₃₁H₂₅₆	• C₁₃₂H₂₅₈	• C₁₃₃H₂₆₀	• C₁₃₄H₂₆₂	• C₁₃₅H₂₆₄	• C₁₃₆H₂₆₆	• C₁₃₇H₂₆₈	• C₁₃₈H₂₇₀	• C₁₃₉H₂₇₂	• C₁₄₀H₂₇₄	• C₁₄₁H₂₇₆	• C₁₄₂H₂₇₈	• C₁₄₃H₂₈₀	• C₁₄₄H₂₈₂	• C₁₄₅H₂₈₄	• C₁₄₆H₂₈₆	• C₁₄₇H₂₈₈	• C₁₄₈H₂₉₀	• C₁₄₉H₂₉₂	• C₁₅₀H₂₉₄	• C₁₅₁H₂₉₆	• C₁₅₂H₂₉₈	• C₁₅₃H₃₀₀	• C₁₅₄H₃₀₂	• C₁₅₅H₃₀₄	• C₁₅₆H₃₀₆	• C₁₅₇H₃₀₈	• C₁₅₈H₃₁₀	• C₁₅₉H₃₁₂	• C₁₆₀H₃₁₄	• C₁₆₁H₃₁₆	• C₁₆₂H₃₁₈	• C₁₆₃H₃₂₀	• C₁₆₄H₃₂₂	• C₁₆₅H₃₂₄	• C₁₆₆H₃₂₆	• C₁₆₇H₃₂₈	• C₁₆₈H₃₃₀	• C₁₆₉H₃₃₂	• C₁₇₀H₃₃₄	• C₁₇₁H₃₃₆	• C₁₇₂H₃₃₈	• C₁₇₃H₃₄₀	• C₁₇₄H₃₄₂	• C₁₇₅H₃₄₄	• C₁₇₆H₃₄₆	• C₁₇₇H₃₄₈	• C₁₇₈H₃₅₀	• C₁₇₉H₃₅₂	• C₁₈₀H₃₅₄	• C₁₈₁H₃₅₆	• C₁₈₂H₃₅₈	• C₁₈₃H₃₆₀	• C₁₈₄H₃₆₂	• C₁₈₅H₃₆₄	• C₁₈₆H₃₆₆	• C₁₈₇H₃₆₈	• C₁₈₈H₃₇₀	• C₁₈₉H₃₇₂	• C₁₉₀H₃₇₄	• C₁₉₁H₃₇₆	• C₁₉₂H₃₇₈	• C₁₉₃H₃₈₀	• C₁₉₄H₃₈₂	• C₁₉₅H₃₈₄	• C₁₉₆H₃₈₆	• C₁₉₇H₃₈₈	• C₁₉₈H₃₉₀	• C₁₉₉H₃₉₂	• C₂₀₀H₃₉₄	• C₂₀₁H₃₉₆	• C₂₀₂H₃₉₈	• C₂₀₃H₄₀₀	• C₂₀₄H₄₀₂	• C₂₀₅H₄₀₄	• C₂₀₆H₄₀₆	• C₂₀₇H₄₀₈	• C₂₀₈H₄₁₀	• C₂₀₉H₄₁₂	• C₂₁₀H₄₁₄	• C₂₁₁H₄₁₆	• C₂₁₂H₄₁₈	• C₂₁₃H₄₂₀	• C₂₁₄H₄₂₂	• C₂₁₅H₄₂₄	• C₂₁₆H₄₂₆	• C₂₁₇H₄₂₈	• C₂₁₈H₄₃₀	• C₂₁₉H₄₃₂	• C₂₂₀H₄₃₄	• C₂₂₁H₄₃₆	• C₂₂₂H₄₃₈	• C₂₂₃H₄₄₀	• C₂₂₄H₄₄₂	• C₂₂₅H₄₄₄	• C₂₂₆H₄₄₆	• C₂₂₇H₄₄₈	• C₂₂₈H₄₅₀	• C₂₂₉H₄₅₂	• C₂₃₀H₄₅₄	• C₂₃₁H₄₅₆	• C₂₃₂H₄₅₈	• C₂₃₃H₄₆₀	• C₂₃₄H₄₆₂	• C₂₃₅H₄₆₄	• C₂₃₆H₄₆₆	• C₂₃₇H₄₆₈	• C₂₃₈H₄₇₀	• C₂₃₉H₄₇₂	• C₂₄₀H₄₇₄	• C₂₄₁H₄₇₆	• C₂₄₂H₄₇₈	• C₂₄₃H₄₈₀	• C₂₄₄H₄₈₂	• C₂₄₅H₄₈₄	• C₂₄₆H₄₈₆	• C₂₄₇H₄₈₈	• C₂₄₈H₄₉₀	• C₂₄₉H₄₉₂	• C₂₅₀H₄₉₄	• C₂₅₁H₄₉₆	• C₂₅₂H₄₉₈	• C₂₅₃H₅₀₀	• C₂₅₄H₅₀₂	• C₂₅₅H₅₀₄	• C₂₅₆H₅₀₆	• C₂₅₇H₅₀₈	• C₂₅₈H₅₁₀	• C₂₅₉H₅₁₂	• C₂₆₀H₅₁₄	• C₂₆₁H₅₁₆	• C₂₆₂H₅₁₈	• C₂₆₃H₅₂₀	• C₂₆₄H₅₂₂	• C₂₆₅H₅₂₄	• C₂₆₆H₅₂₆	• C₂₆₇H₅₂₈	• C₂₆₈H₅₃₀	• C₂₆₉H₅₃₂	• C₂₇₀H₅₃₄	• C₂₇₁H₅₃₆	• C₂₇₂H₅₃₈	• C₂₇₃H₅₄₀	• C₂₇₄H₅₄₂	• C₂₇₅H₅₄₄	• C₂₇₆H₅₄₆	• C₂₇₇H₅₄₈	• C₂₇₈H₅₅₀	• C₂₇₉H₅₅₂	• C₂₈₀H₅₅₄	• C₂₈₁H₅₅₆	• C₂₈₂H₅₅₈	• C₂₈₃H₅₆₀	• C₂₈₄H₅₆₂	• C₂₈₅H₅₆₄	• C₂₈₆H₅₆₆	• C₂₈₇H₅₆₈	• C₂₈₈H₅₇₀	• C₂₈₉H₅₇₂	• C₂₉₀H₅₇₄	• C₂₉₁H₅₇₆	• C₂₉₂H₅₇₈	• C₂₉₃H₅₈₀	• C₂₉₄H₅₈₂	• C₂₉₅H₅₈₄	• C₂₉₆H₅₈₆	• C₂₉₇H₅₈₈	• C₂₉₈H₅₉₀	• C₂₉₉H₅₉₂	• C₃₀₀H₅₉₄	• C₃₀₁H₅₉₆	• C₃₀₂H₅₉₈	• C₃₀₃H₆₀₀	• C₃₀₄H₆₀₂	• C₃₀₅H₆₀₄	• C₃₀₆H₆₀₆	• C₃₀₇H₆₀₈	• C₃₀₈H₆₁₀	• C₃₀₉H₆₁₂	• C₃₁₀H₆₁₄	• C₃₁₁H₆₁₆	• C₃₁₂H₆₁₈	• C₃₁₃H₆₂₀	• C₃₁₄H₆₂₂	• C₃₁₅H₆₂₄	• C₃₁₆H₆₂₆	• C₃₁₇H₆₂₈	• C₃₁₈H₆₃₀	• C₃₁₉H₆₃₂	• C₃₂₀H₆₃₄	• C₃₂₁H₆₃₆	• C₃₂₂H₆₃₈	• C₃₂₃H₆₄₀	• C₃₂₄H₆₄₂	• C₃₂₅H₆₄₄	• C₃₂₆H₆₄₆	• C₃₂₇H₆₄₈	• C₃₂₈H₆₅₀	• C₃₂₉H₆₅₂	• C₃₃₀H₆₅₄	• C₃₃₁H₆₅₆	• C₃₃₂H₆₅₈	• C₃₃₃H₆₆₀	• C₃₃₄H₆₆₂	• C₃₃₅H₆₆₄	• C₃₃₆H₆₆₆	• C₃₃₇H₆₆₈	• C₃₃₈H₆₇₀	• C₃₃₉H₆₇₂	• C₃₄₀H₆₇₄	• C₃₄₁H₆₇₆	• C₃₄₂H₆₇₈	• C₃₄₃H₆₈₀	• C₃₄₄H₆₈₂	• C₃₄₅H₆₈₄	• C₃₄₆H₆₈₆	• C₃₄₇H₆₈₈	• C₃₄₈H₆₉₀	• C₃₄₉H₆₉₂	• C₃₅₀H₆₉₄	• C₃₅₁H₆₉₆	• C₃₅₂H₆₉₈	• C₃₅₃H₇₀₀	• C₃₅₄H₇₀₂	• C₃₅₅H₇₀₄	• C₃₅₆H₇₀₆	• C₃₅₇H₇₀₈	• C₃₅₈H₇₁₀	• C₃₅₉H₇₁₂	• C₃₆₀H₇₁₄	• C₃₆₁H₇₁₆	• C₃₆₂H₇₁₈	• C₃₆₃H₇₂₀	• C₃₆₄H₇₂₂	• C₃₆₅H₇₂₄	• C₃₆₆H₇₂₆	• C₃₆₇H₇₂₈	• C₃₆₈H₇₃₀	• C₃₆₉H₇₃₂	• C₃₇₀H₇₃₄	• C₃₇₁H₇₃₆	• C₃₇₂H₇₃₈	• C₃₇₃H₇₄₀	• C₃₇₄H₇₄₂	• C₃₇₅H₇₄₄	• C₃₇₆H₇₄₆	• C₃₇₇H₇₄₈	• C₃₇₈H₇₅₀	• C₃₇₉H₇₅₂	• C₃₈₀H₇₅₄	• C₃₈₁H₇₅₆	• C₃₈₂H₇₅₈	• C₃₈₃H₇₆₀	• C₃₈₄H₇₆₂	• C₃₈₅H₇₆₄	• C₃₈₆H₇₆₆	• C₃₈₇H₇₆₈	• C₃₈₈H₇₇₀	• C₃₈₉H₇₇₂	• C₃₉₀H₇₇₄	• C₃₉₁H₇₇₆	• C₃₉₂H₇₇₈	• C₃₉₃H₇₈₀	• C₃₉₄H₇₈₂	• C₃₉₅H₇₈₄	• C₃₉₆H₇₈₆	• C₃₉₇H₇₈₈	• C₃₉₈H₇₉₀	• C₃₉₉H₇₉₂	• C₄₀₀H₇₉₄	• C₄₀₁H₇₉₆	• C₄₀₂H₇₉₈	• C₄₀₃H₈₀₀	• C₄₀₄H₈₀₂	• C₄₀₅H₈₀₄	• C₄₀₆H₈₀₆	• C₄₀₇H₈₀₈	• C₄₀₈H₈₁₀	• C₄₀₉H₈₁₂	• C₄₁₀H₈₁₄	• C₄₁₁H₈₁₆	• C₄₁₂H₈₁₈	• C₄₁₃H₈₂₀	• C₄₁₄H₈₂₂	• C₄₁₅H₈₂₄



Kat. Nr. 186 Typ 0 mit 8 % Mn und 2 % Fe
 Vers. Nr. 118
 11 bar
 300 °C
 $\text{CO}/\text{H}_2 = 1,25$
 Raumgeschwindigkeit 45 h^{-1}

Abb. 6.14: Mn/Fe-Zeolith-Mischkatalysatoren Standfestigkeit

Im Untersuchungszeitraum ging der Umsatz trotz des C₃-reichen Gases nur langsam von 50 auf 42 % zurück. Die Palette wurde kurzkettiger, wobei unerwarteter Weise der Methangehalt nicht zunahm. Der C₅₊-Anteil fiel von 30 auf 23 %. Die C_{2/4}-Selektivität stieg in Folge der Kettenverkürzung von 45 auf 50 %. Da der Olefingehalt konstant war, stieg auch der C_{2/4}-Olefinanteil der Palette von 19 auf 23 %.

Überraschenderweise stieg während der Laufzeit die Endständigkeit der Olefindoppelbindungen zunächst leicht an (von 28 auf 33 %) und blieb dann konstant, während die Kettenverzweigung der C₄-Fraktion von 17 % auf 8 % sank.

Vermutlich ist die Zunahme des Buten-1-Anteils und die Abnahme des Isobutananteils sowie die Konstanz des Methananteils trotz Abnahme der mittleren Kettenlänge auf eine Verminderung der Zeolithwirkung im Katalysator während der Laufzeit zurückzuführen.

Auch bei diesem Katalysator war die Standfestigkeit gut.

6.2.5 Vergleich der Mn/Fe-Zeolith-Mischkatalysatoren

Ergebnisse, die mit Mn/Fe-Zeolith-Mischkatalysatoren von unterschiedlichem Zeolithtyp erhalten wurden, sind zum Vergleich in der Tab. 6.15 und in der Abb. 6.15 gegenübergestellt. Bei der Umsetzung betragen der Druck 11 bar, die Temperatur 300 ° C und das CO/H₂-Verhältnis 0,65. Diese Bedingungen entsprechen denen beim Eisen-Zeolith-Mischkatalysator-Vergleich.

Am aktivsten ist auch hier der Katalysator mit dem Zeolithtyp A (Nr. 94), bei dem Gasumsatz und Raumgeschwindigkeit am höchsten sind.

Auch von diesen Katalysatoren werden sehr unterschiedliche Produktpaletten gebildet. Die höchsten C₅₊-Selektivitäten werden bei den Typen I und H mit 46 % bzw. 45 % erreicht, die niedrigste liegt beim Typ O mit 22 % vor. Beim Typ O ist mit 34 % auch der Methananteil am höchsten. Beim Typ A ist mit 17 % die Methanselektivität am niedrigsten und die C_{2/4}-Selektivität mit 43 % am höchsten. Die maximale C_{2/4}-Olefinselektivität finden wir beim gleichen Typ, dessen C_{2/4}-Fraktion auch den höchsten Olefingehalt aufweist.

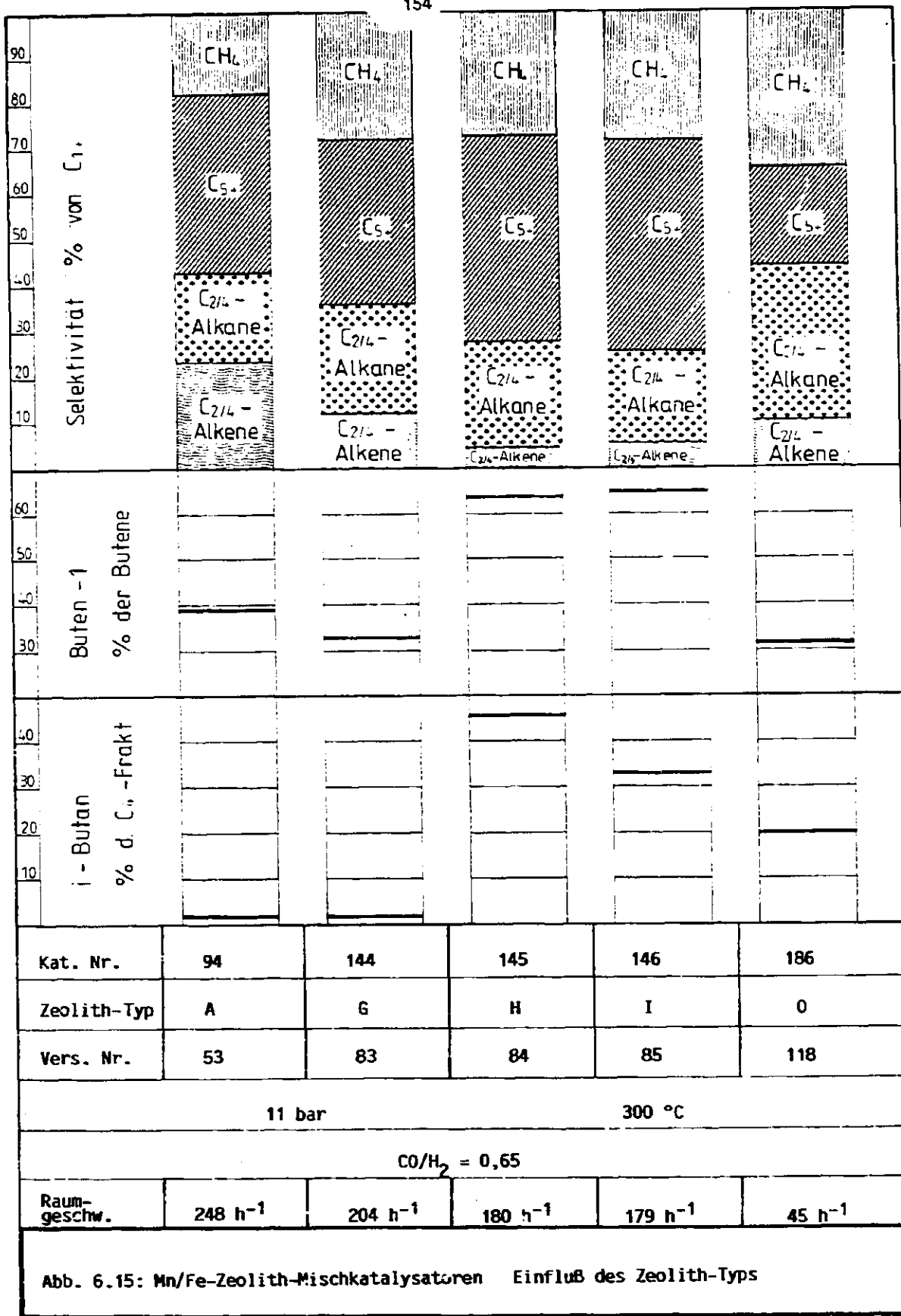
Bei den Typen I und H ist die Doppelbindungsisomerisierung am geringsten. 65 bzw. 64 % der Butene sind Alpha-Olefine. Bei den drei anderen Zeolithtypen ist die Isomerisierung wesentlich stärker. Der Buten-1-Anteil liegt nur noch zwischen 32 und 39 %.

Kettenverzweigend wirkt in starkem Maße der Typ H. Hier sind 46 % der C₄-Fraktion Isobutan.

Bei den Typen A und G liegt der Isobutangehalt unterhalb von 2 % und damit in dem Bereich, der bei zeolithfreien Katalysatoren beobachtet wird. Bei den Eisen-Zeolith-Mischkatalysatoren war beim Typ A eine wesentlich stärkere Kettenverzweigung beobachtet worden. Die Ursache für diesen Unterschied ist nicht bekannt.

Tab. 6.15: Mn/Fe-Zeolith-Mischkatalysatoren, Einfluß des Zeolith-Typs

Kat. Nr.	94	144	145	146	186
Zeolith-Typ	A	G	H	I	0
Mn/Fe	82/18	85/15	85/15	85/15	80/20
REAKTURBEDINGUNGEN					
* KAT. VERS. DRUCK TEMP. RG CO/H2 + CO/H2 C0/H2 *	*	GASUSETZ*	*	C4 - FRAKTION *	C2/4 - GLEFINE *
* MR. V.R. BAR GRD/C 1/H F-GAS *	VGN ENSATZ *	DER FRAKTIONEN *	ALPHA - ISO-	GEHALT AN	*
* 94 51,36 11 300 248 0,71 *	CO H2 COH2 *	C2 C3 C4	C2H4 C3H6 C4H8 *	ANTEIL *	C2H4 C3H6 C4H8 *
* 144 81,74 11 301 254 0,65 *	92,4 55,6 70,6 *	19,4 70,7 67,4	54,8 *	39,0	1,6 * 10,3 51,6 38,1
* 145 84,04 11 300 180 0,65 *	92,4 55,6 70,6 *	19,4 70,7 67,4	54,8 *	39,0	1,6 * 10,3 51,6 38,1
* 146 85,04 11 300 179 0,65 *	92,5 37,1 39,2 *	9,8 24,0 35,1	65,1 *	33,0 *	20,5 24,1 55,4 *
* 186 118,36 11 300 45 0,66 *	92,5 37,1 39,2 *	9,8 24,0 35,1	65,1 *	33,0 *	20,5 24,1 55,4 *
ZUSAMMENSETZUNG DES F1-PRODUKTES					
* KAT. VERS. DRUCK TEMP. RG CO/H2 + CO/H2 C0/H2 *	V UN C1+	I N H A S S E N P R O Z E S S	C2/4-*	C2/4-	
* MR. V.R. BAR GRD/C 1/H F-GAS *	JLUF C1 C2 C3 C4 C5*	CH4 C2H4 C3H6 C4H8 C4H10 C5*	FILEF *	FILEF *	
* 94 53,06 11 300 248 0,71 *	21,6 17,4 12,4 17,2 13,3 39,6 *	19,1 2,3 10,3 11,7 5,1 8,4	38,5 *	31,9 *	
* 144 81,03 11 300 204 0,65 *	17,2 27,7 14,4 7,6 36,2 *	30,1 3,0 11,1 8,6 5,3	4,7 2,6	34,7 *	7,5 *
* 145 84,04 11 300 180 0,65 *	4,8 27,0 11,1 6,0 10,1 45,0 *	29,1 1,3 9,8 1,1 5,6	2,1 7,7	43,4 *	2,5 *
* 146 85,04 11 300 179 0,65 *	5,5 28,3 11,5 5,5 8,7 46,0 *	30,5 1,1 10,5 1,2 4,1	2,5 5,5	44,2 *	2,9 *
* 186 118,36 11 300 45 0,66 *	10,7 34,2 16,0 11,6 21,8 *	36,4 0,8 15,6 5,1 10,2	4,1 7,0	20,7 *	6,7 *



6.3 Katalysatoren mit Kobalt als syntheseaktiver Komponente

Getestet wurden 7 Kobaltkatalysatoren, die mit 4 verschiedenen Zeolithtypen kombiniert waren. 3 Katalysatoren enthielten neben Kobalt Palladium und einer Molybdän. Alle Katalysatoren wurden von UCC hergestellt.

6.3.1 Kobalt-Katalysatoren mit dem Zeolithtyp L

Es kamen 3 Katalysatoren zum Einsatz, von denen der Katalysator Nr. 172 5 % Co enthielt und im Versuch Nr. 104 erprobt wurde. Der Katalysator Nr. 171 enthielt neben 7,5 % Co 2 % Pd und wurde im Versuch Nr. 95 untersucht. Im Versuch Nr. 94 wurde der Katalysator Nr. 168 getestet, der 3,6 % Co und 6,4 % Pd enthielt.

Die Ergebnisse dieser drei Versuche sind in der Tabelle 6.16 zusammengefaßt und in der Abb. 6.16 graphisch dargestellt. Bei allen Versuchen betrugen der Druck 11 bar und das CO/H₂-Verhältnis des Synthesegases 0,65 bis 0,67. Bei den Versuchen Nr. 104 und 95 lag die Raumgeschwindigkeit bei 275 bzw. 310 h⁻¹, während sie beim Versuch Nr. 94 wesentlich niedriger war (ca. 90 h⁻¹). Untersucht wurde die Synthese bei Temperaturen zwischen 210 und 290 °C. Zu beachten ist, daß bei den Einzelversuchen die Temperaturbereiche unterschiedlich waren.

Mit den Katalysatoren werden auch bei niedriger Temperatur sehr kurzkettige, methanreiche Paletten gebildet. Der Methananteil liegt teilweise über 50 %. Der Olefingehalt der C_{2/4}-Fraktion ist vermindert. Insbesondere die Pd-haltigsten Katalysatoren wirken stark hydrierend. Beim Pd-haltigsten Katalysator 168 sind die Fraktionen praktisch oleinfrei. In allen drei Fällen ist die Doppelbindung der Butene stark isomerisiert. Der Pd-Gehalt scheint darauf ohne Einfluß zu sein. Der Effekt ist offensichtlich zeolithspezifisch. Hingegen wächst der Verzweigungsgrad mit dem Pd-Gehalt. Wie den Gasumsätzen zu entnehmen ist, geht mit zunehmendem Pd-Gehalt die Katalysatoraktivität erheblich zurück.

Tab. 6.16: Kobalt-Zeolith-Mischkatalysatoren

Zeolith-Typ L; Kat. Nr. 172, 5 % Co; Kat. Nr. 171, 7,5 % Co + 2 % Pd;
 Kat. Nr. 168, 3,6 % Co + 6,4 % Pd

REAKTIONSBEDINGUNGEN				GASUMSATZ				OLEFIN - GEHALTE				C4 - FRAKTION				C2/4 - OLEFINE			
KAT.	VERS.	DRUCK	TEMP.	LG	CO/H2	CO/H2	%	VOM	EINSATZ	%	C2	C3	C4	C2/4	ANTEIL	ALPHA-	ISO-	GEHALT	AN
•	KAT.	NR.	BAK	GHD-C	1/H	F-GAS	%	H-GAS	UHS.	%	CU	H2	CW/H2	*	C2H4	C3H6	C4H8	*	*
•	172	104,33	11	260	274	0,65	*	1,95	0,43	*	37,1	56,6	48,9	*	5,7	55,9	43,4	*	42,6
•	172	104,19	11	270	270	0,65	*	1,13	0,45	*	47,2	69,4	60,4	*	4,2	49,4	52,0	*	38,0
•	172	104,11	11	280	276	0,65	*	1,19	0,47	*	52,3	73,7	65,2	*	3,7	46,1	50,7	*	35,0
•	172	104,12	11	250	275	0,65	*	1,17	0,48	*	55,7	75,3	67,5	*	3,7	43,6	49,8	*	33,4
•	171	95,33	11	240	318	0,67	*	1,80	0,41	*	36,1	57,6	49,1	*	0,0	4,6	4,2	*	26,2
•	171	95,34	11	250	308	0,66	*	0,76	0,39	*	15,4	26,3	22,0	*	0,5	3,4	3,3	*	14,3
•	168	94,33	11	210	90	0,67	*	0,70	0,39	*	6,6	11,1	9,3	*	0,0	0,6	0,7	*	0,5
•	168	94,36	11	233	78	0,67	*	0,74	0,41	*	15,1	24,4	20,7	*	0,0	0,4	0,5	*	40,0
•	168	94,35	11	250	91	0,67	*	0,81	0,46	*	20,2	41,0	35,9	*	0,0	0,3	0,4	*	22,2
•	171	95,33	11	240	318	0,67	*	1,1	0,37	*	33,7	50,2	42,0	*	0,1	10,1	0,5	*	20,7
•	171	95,34	11	250	308	0,66	*	0,68	0,30	*	11,4	24,7	21,5	*	0,1	11,4	0,4	*	11,7
•	172	104,03	11	260	274	0,65	*	11,3	0,51	*	50,3	64,4	60,7	*	0,9	23,6	53,1	*	6,0
•	172	104,1	11	270	270	0,65	*	9,0	0,53	*	6,8	10,4	8,4	*	20,9	56,2	6,3	*	4,6
•	172	104,11	11	290	275	0,65	*	9,1	0,55	*	7,3	10,4	7,7	*	19,4	57,6	6,3	4,0	
•	172	104,12	11	290	275	0,65	*	8,7	0,56	*	0,1	10,6	7,6	*	17,4	59,0	9,3	*	4,2
•	171	95,33	11	240	318	0,67	*	1,1	0,37	*	33,7	50,2	42,0	*	0,1	10,1	0,5	*	20,7
•	171	95,34	11	250	308	0,66	*	0,68	0,30	*	11,4	24,7	21,5	*	0,1	11,4	0,4	*	11,7
•	168	94,33	11	210	90	0,67	*	0,1	0,37	*	17,8	31,7	29,2	*	40,1	0,0	8,6	*	10,3
•	168	94,34	11	230	78	0,67	*	0,1	0,37	*	41,0	7,6	12,7	*	9,2	43,3	0,0	*	10,3
•	168	94,35	11	250	91	0,67	*	0,1	0,37	*	53,4	9,3	9,5	*	0,4	29,3	0,0	*	9,2

REAKTIONSBEDINGUNGEN				SELEKTIVITÄT				ZUSAMMENSETZUNG DES FT-PRODUKTES				C2/4-%				C2/4-%			
KAT.	VERS.	DRUCK	TEMP.	LG	CO/H2	C2/4-	X	VUN	C1	C2	C3	C4	CH4	C2H4	C3H6	C4H8	C4H10	C5+	G/NM2
•	KAT.	NR.	BAK	GHD-C	1/H	F-GAS	*	OLTF.	C1	C2	C3	C4	CH4	C2H4	C3H6	C4H8	C4H10	C5+	G/NM2
•	172	104,33	11	260	274	0,65	*	1,95	0,43	*	37,1	56,6	48,9	*	5,7	55,9	43,4	*	42,6
•	172	104,19	11	270	270	0,65	*	1,13	0,45	*	47,2	69,4	60,4	*	4,2	49,4	52,0	*	38,0
•	172	104,11	11	280	276	0,65	*	1,19	0,47	*	52,3	73,7	65,2	*	3,7	46,1	50,7	*	35,0
•	172	104,12	11	250	275	0,65	*	1,17	0,48	*	55,7	75,3	67,5	*	3,7	43,6	49,8	*	33,4
•	171	95,33	11	240	318	0,67	*	1,80	0,41	*	36,1	57,6	49,1	*	0,0	4,6	4,2	*	26,2
•	171	95,34	11	250	308	0,66	*	0,76	0,39	*	15,4	26,3	22,0	*	0,5	3,4	3,3	*	14,3
•	168	94,33	11	210	90	0,67	*	0,70	0,39	*	6,6	11,1	9,3	*	0,0	0,6	0,7	*	20,7
•	168	94,36	11	233	78	0,67	*	0,74	0,41	*	15,1	24,4	20,7	*	0,0	0,4	0,5	*	40,0
•	168	94,35	11	250	91	0,67	*	0,81	0,46	*	20,2	41,0	35,9	*	0,0	0,3	0,4	*	22,2
•	171	95,33	11	240	318	0,67	*	1,1	0,37	*	33,7	50,2	42,0	*	0,1	10,1	0,5	*	20,7
•	171	95,34	11	250	308	0,66	*	0,68	0,30	*	11,4	24,7	21,5	*	0,1	11,4	0,4	*	11,7
•	172	104,03	11	260	274	0,65	*	11,3	0,51	*	50,3	64,4	60,7	*	0,9	23,6	53,1	*	6,0
•	172	104,1	11	270	270	0,65	*	9,0	0,53	*	6,8	10,4	8,4	*	20,9	56,2	6,3	4,6	
•	172	104,11	11	290	275	0,65	*	9,1	0,55	*	7,3	10,4	7,7	*	19,4	57,6	6,3	4,0	
•	172	104,12	11	290	275	0,65	*	8,7	0,56	*	0,1	10,6	7,6	*	17,4	59,0	9,3	*	4,2
•	171	95,33	11	240	318	0,67	*	1,1	0,37	*	33,7	50,2	42,0	*	0,1	10,1	0,5	*	20,7
•	171	95,34	11	250	308	0,66	*	0,68	0,30	*	11,4	24,7	21,5	*	0,1	11,4	0,4	*	11,7
•	168	94,33	11	210	90	0,67	*	0,1	0,37	*	17,8	31,7	29,2	*	40,1	0,0	8,6	*	10,3
•	168	94,34	11	230	78	0,67	*	0,1	0,37	*	41,0	7,6	12,7	*	9,2	43,3	0,0	*	10,3
•	168	94,35	11	250	91	0,67	*	0,1	0,37	*	53,4	9,3	9,5	*	0,4	29,3	0,0	*	9,2

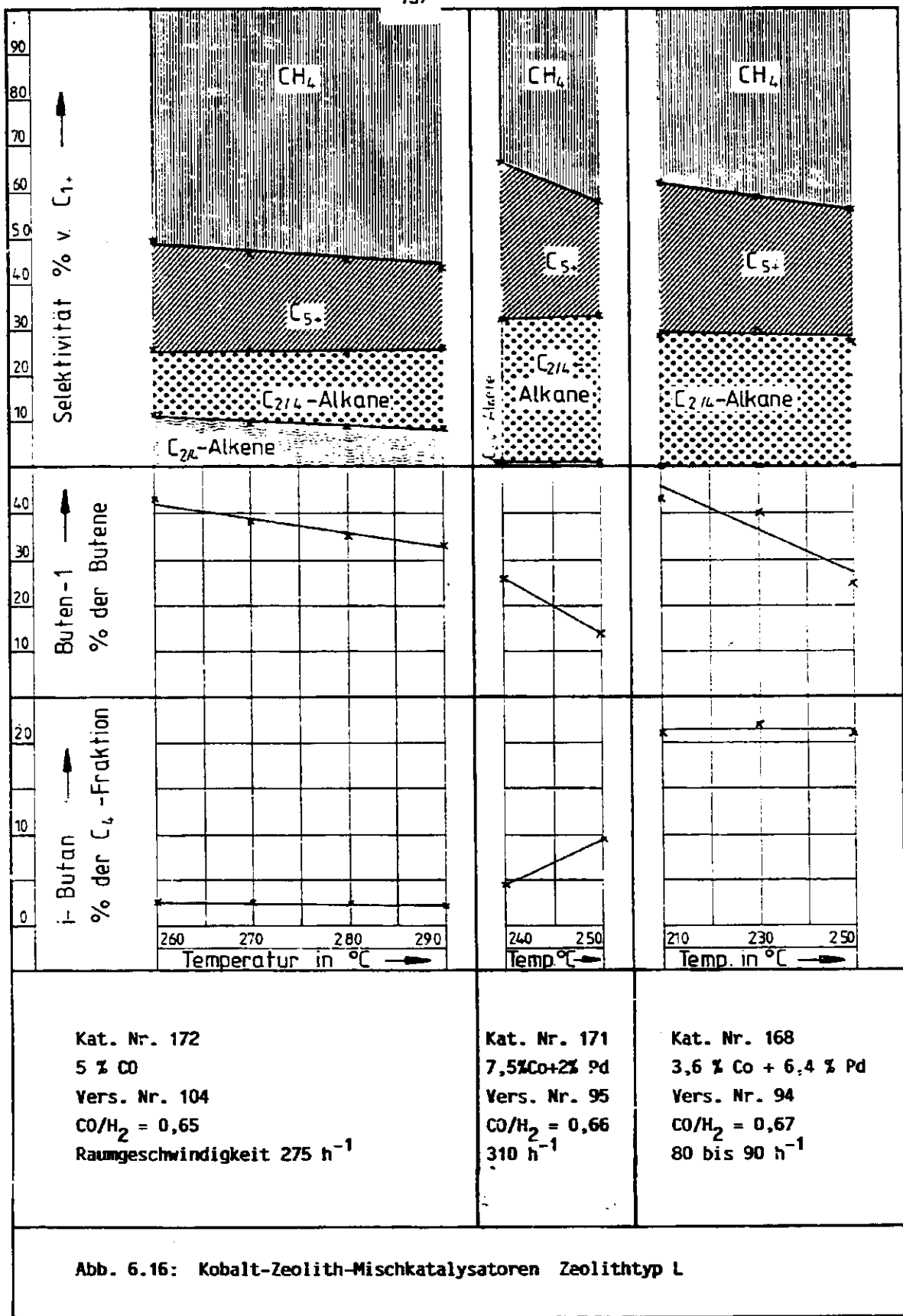


Abb. 6.16: Kobalt-Zeolith-Mischkatalysatoren Zeolithtyp L

6.3.2 Kobalt-Katalysatoren mit dem Zeolithtyp M

Mit diesem Zeolithtyp wurden 2 Katalysatoren eingesetzt, von denen der Katalysator Nr. 163 des Versuches Nr. 90 10 % Co enthielt, während der Katalysator Nr. 166 vom Versuch Nr. 91 neben 10 % Co zusätzlich 10 % Pd besaß.

Die Ergebnisse zeigen die Tab. 6.17 und die Abb. 6.17. Bei beiden Versuchen kam wasserstoffreiches Synthesegas (CO/H_2 -Verhältnis = 0,66) unter einem Druck von 11 bar mit einer Raumgeschwindigkeit von ca 80 h^{-1} zum Einsatz. Der untersuchte Temperaturbereich lag zwischen 250 und 330 °C.

Durch das Palladium ist wiederum die Katalysatoraktivität stark vermindert. Bei gleicher Raumgeschwindigkeit ist bei 330 °C mit dem Pd-haltigen Katalysator noch nicht der Umsatz erreicht, der ohne Palladium bereits bei 250 °C erzielt wird.

Auch mit diesem Zeolithtyp entstehen sehr kurzkettige und methanreiche Paletten. Die Bildung kurzer Ketten wird durch das Palladium gefördert. So betragen bei 310 °C der C_{5+} -Anteil beim Pd-freien Katalysator 23 % und beim Pd-haltigen nur noch 16 % und die entsprechenden Methananteile 47 bzw. 65 %.

Beim palladiumhaltigen Katalysator überwiegt in der $\text{C}_{2/4}$ -Fraktion der C_2 -Anteil und die Olefine der C_2 - bis C_4 -Fraktionen sind nahezu vollständig zum Paraffin hydriert.

Die unter dem Einfluß des Zeolithen bereits stark verschobene Doppelbindung der Butene (beim Versuch 90 sind nur 20 % endständig) wird in Gegenwart des Palladium noch stärker isomerisiert. Hier sind noch 5 % endständige Doppelbindungen in den Butenen verblieben.

Beide Paletten weisen stark verzweigte Kohlenstoff-Ketten auf. Das Palladium erhöht wiederum erheblich den Verzweigungsgrad. Bei 280 °C enthält die C_4 -Fraktion beim palladiumfreien Katalysator 25 % und beim palladiumhaltigen 76 % Isobutan.

Tab. 6.17: Kobalt-Zeolith-Mischkatalysatoren

REAKTIONSTEMP. IN °C		GASUMSATZ		OLEFIN - GEHALTE		C4 - FRAKTION		C2/4 - OLEFINE	
KAT.	WERT	CO/H2	CO/H2	VOM EINSATZ	DER FRAKTIONEN	ALPHA-	ISO-	GEHALT AN	
MR.	NR.	GRU. I	GRU. II	H2	C3	C4	C2/4	ANTEIL	C2H4 C3H6 C4H8 %
163	90-12	11	250	80 U-66	1.13	0.64 *	45.7	68.5	59.5
163	90-13	11	260	77 U-66	1.18	0.45 *	48.5	71.3	62.3
163	90-14	11	270	78 U-66	1.45	0.45 *	58.6	79.5	69.7
163	90-13	11	280	80 U-66	1.46	0.46 *	57.1	80.1	71.4
163	90-16	11	290	74 U-66	1.49	0.49 *	61.0	82.8	74.1
163	90-17	11	300	79 U-66	1.24	0.54 *	70.2	84.5	78.9
163	90-13	11	310	80 U-66	0.67	0.64 *	88.1	88.6	88.4
166	91-03	11	280	90 U-66	0.69	0.50 *	11.3	15.0	13.5
166	91-03	11	290	07 U-66	0.68	0.54 *	13.0	17.0	15.8
166	91-05	11	300	04 U-66	0.60	0.56 *	16.0	19.0	17.7
166	91-06	11	310	84 U-66	0.60	0.60 *	19.5	21.5	20.7
166	91-17	11	320	02 U-66	1.65	0.66 *	30.4	33.0	31.9
166	91-38	11	330	01 U-66	0.63	0.70 *	37.3	33.9	34.8

ZUSAMMENSETZUNG DES FI-PRODUKTES										C2-/4-											
S E L E K T I V I T Ä T										OLEF.											
I N H A S S E N P O L E N T										G/NM2											
KAT.	VERS.	DRUCK.	TEMP.	RC	CO/H2	C2/4-	%	VON	C1 +												
NR.				BAR	GRAD C	1/H	F-GAS		C1	C2	C3	C4	C5+	C14	C2H6	C3H6	C4H8	C5H10	C5+		
• 163	90,12	11	250	80	U-66	•	7,3	36,8	4,6	7,5	7,6	3,5	•	39,4	0,2	4,4	3,6	3,0	4,3	41,4	7,8
• 163	90,13	11	260	77	U-66	•	6,0	40,4	5,0	7,3	7,0	40,3	•	43,1	0,2	4,8	3,0	6,0	2,4	4,3	6,6
• 163	91,14	11	270	78	U-66	•	5,0	43,4	5,4	7,3	6,8	3,0	•	46,1	0,2	5,2	2,5	4,4	1,9	4,6	5,1
• 163	90,15	11	280	80	U-66	•	4,4	44,6	6,1	7,8	7,1	36,4	•	47,2	0,2	5,9	2,3	5,1	1,1	32,6	5,5
• 163	90,16	11	290	74	U-66	•	3,9	47,6	6,3	7,6	6,7	31,7	•	50,2	0,2	6,1	1,8	5,5	1,1	50,3	4,2
• 163	90,17	11	300	79	U-66	•	3,3	55,0	7,4	7,7	6,0	24,1	•	57,5	0,2	6,8	1,9	5,4	0,9	1,8	22,5
• 163	90,11	11	310	80	U-66	•	1,6	56,8	7,2	7,4	5,7	22,9	•	59,2	0,0	7,1	1,0	6,0	0,5	4,9	21,4
• 166	91,13	11	280	90	U-66	•	0,5	52,3	10,0	2,8	6,2	20,7	•	54,7	0,1	9,6	0,1	2,6	0,2	5,6	27,0
• 166	91,14	11	290	87	U-66	•	0,4	56,3	11,8	2,7	5,2	23,9	•	58,6	0,1	11,4	0,1	2,5	0,2	4,8	22,4
• 166	91,15	11	300	84	U-66	•	0,3	50,1	13,1	2,2	3,2	21,2	•	60,3	0,1	12,6	0,1	2,0	0,1	4,9	21,9
• 166	91,16	11	310	86	U-66	•	0,3	65,2	14,6	2,2	16,4	17,0	•	67,2	0,1	13,5	0,1	1,8	0,1	5,2	15,2
• 166	91,17	11	320	82	U-66	•	0,2	74,7	10,9	1,3	1,0	12,0	•	76,3	0,1	10,3	0,0	1,2	0,0	0,9	11,0
• 166	91,13	11	330	81	U-66	•	0,2	77,1	10,0	1,3	0,9	10,6	•	78,7	0,1	9,5	0,1	1,2	0,0	0,8	9,7